

- [3] Королев И.Я., Кособурд Т.П., Вдовин В.А., Сорокин Ю.М. // ЖТФ. 1987. Т. 57. № 12. С. 2314–2323.
- [4] Кособурд Т.П., Сорокин Ю.М. // ЖТФ. 1988. Т. 58. № 7. С. 1318–1324.
- [5] Захарченко С.В., Семенов Л.П., Синтюрин Г.А. // Квантовая электроника. 1986. Т. 13. № 5. С. 1040–1042.
- [6] Анисимов В.Н., Большов Л.А., Гайдаренко Д.В. и др. // Письма в ЖТФ. 1987. Т. 13. В. 13. С. 808–811.
- [7] Агеев В.П., Ахсахалян А.Д., Гапонов С.В. и др. // ЖТФ. 1988. Т. 58. № 5. С. 930–935.
- [8] Сорокин Ю.М. // ЖТФ. 1986. Т. 56. № 7. С. 1431–1433.
- [9] Сорокин Ю.М., Королев И.Я., Крикунова Э.М. // Квантовая электроника. 1986. Т. 13, № 12. С. 2464–2473.
- [10] Сорокин Ю.М. // Оптика атмосферы. 1988. Т. 1. № 8. С. 36–43.

Горьковский
государственный университет
им. Н.И. Лобачевского

Поступило в Редакцию
31 марта 1990 г.

Письма в ЖТФ, том 16, вып. 18

26 сентября 1990 г.

07

(C) 1990

ПЕРЕСТРОЙКА И МОДУЛЯЦИЯ СПЕКТРАЛЬНОГО ПОЛОЖЕНИЯ
ПОЛОСЫ ПОГЛОЩЕНИЯ КРАСИТЕЛЯ
В ОРИЕНТИРУЮЩЕЙ МАТРИЦЕ

Е.М. Аверьянов, В.А. Гуняков

1. Большое расщепление неоднородно-поляризованных полос поглощения красителей в жидкокристаллических (ЖК) матрицах [1] ставит вопрос о перестройке и модуляции положения примесных полос, а также использовании этих эффектов в практических приложениях. Полевая перестройка максимума ν_e поглощения необыкновенно поляризованной световой волны при переходе Фредерикса для нематической матрицы в электрическом поле E отличается гигантской величиной спектрального отклика $d\nu_e/dE$ [2], но не обеспечивает максимальной амплитуды смешения полосы при небольших надпороговых значениях E . Эта амплитуда равна величине расщепления $\Delta\nu = \nu_{//} - \nu_{\perp}$ полосы в поляризациях // и \perp оптической оси. Кроме

того, при полевой модуляции $v_e(\omega)$ для нематических матриц рекордно высокие значения ω лежат в области 1 кГц. В ряде случаев важна не величина отклика, а амплитуда смещения максимума примесной полосы и более широкий интервал значений ω .

В данной работе для обсуждаемых красителей предлагается новый способ перестройки и модуляции положения их полос поглощения, свободный от указанных выше ограничений. Он состоит в использовании одноосной ориентирующей матрицы с примесью нужного красителя, а плавное изменение положения максимума y_α примесного поглощения происходит за счет изменения угла α между оптической осью образца и плоскостью поляризации света, падающего нормально оптической оси.

2. Рассмотрим образец с малой концентрацией примесных молекул красителя, полоса поглощения которого лежит в области прозрачности матрицы. Спектральная зависимость оптического пропускания образца $T_\alpha(v)$ в области примесного поглощения имеет вид

$$T_\alpha(v) = \exp[-K_{\parallel\perp}(v)d] \cos^2 \alpha + \exp[-K_\perp(v)d] \sin^2 \alpha, \quad (1)$$

где $K_{\parallel\perp}(v)$ – спектральные зависимости компонент коэффициента поглощения, поляризованных параллельно и перпендикулярно оптической оси, d – толщина образца. Максимум полосы примесного поглощения y_α удовлетворяет уравнению $dT_\alpha(v)/dv = 0$ или

$$K'_\parallel(v) \exp[-K_\parallel(v)d] \cos^2 \alpha + K'_\perp(v) \exp[-K_\perp(v)d] \sin^2 \alpha = 0. \quad (2)$$

Для широких полос поглощения красителей с расщеплением Δv , значительно меньшим их полуширины, можно пренебречь в (2) слабой зависимостью $K_{\parallel\perp}(v)$ в области $v_\perp < v < v_\parallel$ в сравнении с сильной зависимостью производных $K'_{\parallel\perp}(v)$ и заменить $K_{\parallel\perp}(v)$ под экспонентой на их значения $K_{\parallel\perp}$ в максимумах полос. Используем связь [1]

$$K_\parallel(v) = K_i(v) \frac{\rho n_i}{\rho_i n_\parallel} \left(\frac{f_\parallel}{f_i} \right)^2 \left[1 + 2SS_\beta(v) - \frac{2}{3} GG_{\beta\gamma\varphi}(v) \right], \quad (3)$$

$$K_\perp(v) = K_i(v) \frac{\rho n_i}{\rho_i n_\perp} \left(\frac{f_\perp}{f_i} \right)^2 \left[1 - SS_\beta(v) + \frac{1}{3} GG_{\beta\gamma\varphi}(v) \right] \quad (3)$$

компонент $K_{\parallel\perp}(v)$ с коэффициентом поглощения $K_i(v)$ образца в ориентационном неупорядоченном (изотропном) состоянии. Здесь $n_{\parallel\perp}, i$ и $f_{\parallel\perp}, i$ фоновые значения показателей преломления и компонент тензора локального поля световой волны, дисперсией которых в окрестности максимума примесной полосы можно пренебречь. ρ и ρ_i – плотности ориентационно упорядоченного и изотропного состояний образца. Параметры ориентационного порядка примесных моле-

кул $S_{zz} = S_{xx}$ и $G = S_{yy} - S_{xx}$ выражаются через компоненты матрицы $S_{KK} = \langle 3\cos^2\theta_{K\vec{r}} - 1 \rangle / 2$ ($K = x, y, z$), диагональной в системе координат (x, y, z) примесной молекулы. $\theta_{K\vec{r}}$ – угол между k -й осью молекулярной системы и осью ориентации \vec{r} (оптической осью) образца. Скобки $\langle \dots \rangle$ означают статистическое усреднение по примесной подсистеме. Параметры

$$S_{\beta}(\nu) = [3\cos^2\beta(\nu) - 1] / 2, \quad G_{\beta\varphi}(\nu) = [3\sin^2\beta(\nu) \cos 2\varphi(\nu)] / 2$$

зависят от полярного (β) и азимутального (φ) углов, задающих ориентацию момента перехода в молекулярной системе координат. Для неоднородно-поляризованных полос электронного поглощения, форма которых в области максимума является огибающей неразрешенной вибронной структуры, параметры β, φ и $S_{\beta}, G_{\beta\varphi}$ являются непрерывными функциями ν [1].

Подстановка (3) в (2) дает

$$g \left\{ K'_i(\nu) - \left[K_i(\nu) \sum'(\nu) \right]' \right\} + \left\{ (1-g) K'_i(\nu) + (2+g) \left[K_i(\nu) \sum'(\nu) \right]' \right\} \times \\ \times \cos^2\alpha = 0, \quad (4)$$

где штрихами обозначены производные по ν и использованы обозначения

$$g = \frac{n''}{n'_\perp} \left(\frac{f_\perp}{f_\parallel} \right)^2 \exp \left[(K_\parallel - K_\perp) d \right], \quad \sum'(\nu) = S S_{\beta}(\nu) - \frac{1}{3} G G_{\beta\varphi}(\nu). \quad (5)$$

Следуя [1], для решения уравнения (4) разложим входящие в него производные в ряд по $\nu - \nu_i$ в окрестности максимума $\nu = \nu_i$: полосы $K_i(\nu)$ и ограничимся линейным приближением. В результате получаем

$$\nu_\alpha = \nu_i + \frac{x [(2+g) \cos^2\alpha - g]}{g(1-g) + [1-g + (2+g)y] \cos^2\alpha}, \quad (6)$$

где $x = 3(\nu_\parallel - \nu_\perp)(\nu_i - \nu_\perp)/2(\nu_\parallel - \nu_\perp)$, $y = [3\nu_i - (\nu_\parallel + 2\nu_\perp)]/2(\nu_\parallel - \nu_\perp)$. В отличие от величин $\nu_{\parallel, \perp}$ положение ν_α зависит от оптической анизотропии среды и анизотропии тензора f локального поля. Равенству $\nu_\alpha = \nu_i$ соответствует угол $\alpha_i = \arccos[g/(2+g)]^{1/2}$. Для фиксированного красителя форму зависимости $\nu(\alpha)$ можно изменять варьированием параметров матрицы ($n_{\parallel, \perp}$ и $f_{\parallel, \perp}$), ориентационной упорядоченности примесной подсистемы (разности $K_\parallel - K_\perp$), толщины образца d или концентрации примеси.

3. Объектом экспериментальной проверки (6) в настоящей работе была симметричная полоса поглощения ($\lambda_i = 580$ нм) красителя К-Ш [1] в нематической матрице 4-н-пентил-4'-цианобифенила (5ЦБ) при концентрации примеси $C = 0.15$ моль/л и температуре $T_c - T = 13$ °C, где T_c – температура перехода нематик-изотропная жидкость. При толщине ячейки $d = 50$ мкм планарная ори-

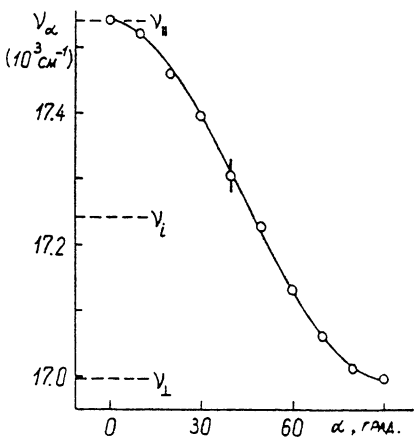
Экспериментальная и рассчитанная по (6) (сплошная линия) зависимость максимума ν_α длинноволновой полосы поглощения красителя К-Ш в нематической матрице 5ЦБ от угла α между оптической осью образца и поляризацией падающего на ячейку света.

ентация ЖК получалась нанесением пленки адипиновой кислоты из спиртового раствора на внутренние поверхности ячейки с последующим односторонним натиранием.

Поляризованные спектры поглощения К-Ш в ряде ЖК матриц представлены в работе [1]. Автоматическая фиксация ν_α проводилась на комплексе КСВУ-23 по спектральному положению нуля производной $dD_\alpha(\nu)/d\nu$ оптической плотности. Экспериментальная зависимость $\nu(\alpha)$, усредненная по серии образцов, представлена на рисунке. Там же приведена зависимость, рассчитанная по (6) при известных экспериментальных значениях $\nu_i = 17240 \text{ см}^{-1}$, $(K_{\parallel\parallel} - K_{\perp\perp})d = 0.25$, $n_{\parallel\parallel}/n_{\perp\perp} = 1.125$ [3] и $f_{\perp\perp}/f_{\parallel\parallel} = 1.125$ [4]. Во всей области изменения α теоретическая зависимость совпадает с экспериментальной, что объясняется обоснованностью принятых приближений для исследуемого объекта. Экспериментальное значение $\alpha_i \approx 47^\circ$ также согласуется со значением $\alpha_i = 46^\circ$, даваемым формулой (6).

Вращение плоскости поляризации падающего на ячейку или анализируемого после нее света за счет вращения поляризатора, стоящего перед ячейкой или после нее, с частотой ω приводит к модуляции $\nu(\omega)$ спектрального положения максимума примесного поглощения, причем ограничения на частоту ω налагаются только механикой соответствующего устройства. Для фиксированного красителя расщепление $\Delta\nu$ определяется только особенностями электронной структуры и параметром порядка S примесных молекул, причем $\Delta\nu$ возрастает с ростом S . Поэтому в качестве ориентирующих матриц можно использовать не только нематические, но и смектические ЖК, ЖК-полимеры, растянутые полимерные пленки и другие анизотропные среды, обеспечивающие высокие значения S и $\Delta\nu$.

Авторы признательны В.Г. Румянцеву за предоставление красителя.



Список литературы

- [1] Аверьянов Е.М.; Муратов В.М., Румянцев В.Г., Чуркина В.А. // ЖЭТФ. 1986. Т. 90. № 1. С. 100-110.
- [2] Аверьянов Е.М., Румянцев В.Г., Муратов В.М. // Письма в ЖЭТФ. 1990. Т. 51. № 5.
- [3] Зырянов В.Я., Эпштейн В.Ш. // ПТЭ. 1987. № 2. С. 164-166.
- [4] Аверьянов Е.М., Жуйков В.А., Зырянов В.Я., Шабанов В.Ф. // ЖЭТФ. 1984. Т. 86. № 6. С. 2111-2121.

Институт физики
им. Л.В. Киренского
СО АН СССР, Красноярск

Поступило в Редакцию
25 февраля 1990 г.

Письма в ЖТФ, том 16, вып. 18

26 сентября 1990 г.

04

© 1990

ЭФФЕКТ РАЗДЕЛЕНИЯ ИОНОВ РАЗНОЙ КРАТНОСТИ ИОНИЗАЦИИ ПРИ ВЗАИМОДЕЙСТВИИ ПОТОКОВ ЛАЗЕРНОЙ ПЛАЗМЫ

Б.А. Брюнеткин, У.Ш. Бегимкулов,
В.М. Дякин, Г.А. Колдашов,
А.Ю. Репин, Е.Л. Ступицкий,
А.Я. Фаенов, Б.К. Хабибуллаев,
Ш.А. Эрматов

Изучение взаимодействия плазменных сгустков, имеющих высокую степень ионизации и относительную скорость движения, представляет значительный интерес для ряда фундаментальных и прикладных задач. Это прежде всего исследование роли столкновительных, коллективных и электромагнитных процессов, которые сопровождают такое взаимодействие, влияние его на ход неравновесных ионизационных и рекомбинационных процессов, неравновесное излучение в непрерывном и линейчатом спектре.

В проведенных экспериментах плазменные потоки формировались при воздействии излучения рубинового лазера (энергия до 6 Дж, длительность 8 нс) на поверхность мишени из бериллия в двух точках. Для этого в пучок лазера помещалась клиновидная пластина, отклоняющая часть пучка на заданное расстояние, при этом была возможность регулировать соотношение между интенсивностями в пучках, диаметр пятна фокусировки каждого луча составлял 200 мкм.